厦门国科安芯科技有限公司

ASP3605 应用笔记

AN001

目录

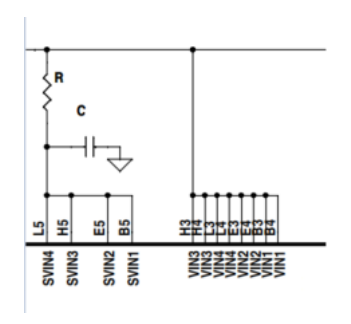
| _ | 简介 | 3 |
|----------|--------------------|---|
| <u> </u> | PVIN SVIN 之间建议加 RC | 3 |
| 三 | 软启动电容 | 3 |

一 简介

ASP3605 使用过程中对于 PVIN 和 SVIN 滤波、软启动电容有具体要求,本文档对该要求进行说明确认。

二 PVIN SVIN 之间建议加 RC

建议用户将 PVIN 与 SVIN 分开,同时 PVIN 与 SVIN 之间接 RC 低通滤波器,建议值 R= $10\,\Omega$,C=0.1uF。滤除开关频率带来的纹波干扰,参考电路如下图所示:



后续新版本不存在此问题。

三 软启动电容

当 ASP3605 输出端驱动大的容性负载 (大于 300uF) 时,需要同步增加软启动电容的值。

厦门国科安芯科技有限公司

ASP3605 数据手册

15V、5A 同步降压调节器



目录

| 1 | 简介 | 1 |
|---|--|------|
| | 1.1 描述 | |
| | 1.2 主要特征 | |
| | 1.3 产品系列 | |
| | 1.4 典型应用 | |
| | 1.5 应用场景 | |
| 2 | 引脚功能 | |
| _ | 2.1 引脚排布 | |
| | 2.2 引脚功能 | |
| 3 | 特征值 | |
| _ | 3.1 绝对最大额定参数 | |
| | 3.2 电特性 | |
| | 3.3 使用注意事项 | |
| | 3.4 典型性能特征 | |
| 4 | 应用 | |
| | 4.1 主控制回路 | |
| | 4.2 INTVCC 调节器 | |
| | 4.3 V _{IN} 过电压保护 | |
| | 4.4 PV _{IN} /SV _{IN} 电压差 | |
| | 4.5 输出电压编程 | . 11 |
| | 4.6 编程开关频率 | |
| | 4.7 输出电压跟踪和软启动 | |
| | 4.8 输出功率 | .12 |
| | 4.9 多相操作 | .12 |
| | 4.10 内部/外部 COMP 补偿 | .12 |
| | 4.11 最小开启/关断时间的考虑 | .12 |
| | 4.12 C _{IN} 和 C _{OUT} 选择 | .13 |
| | 4.13 输入输出电容 | . 14 |
| | 4.14 电感选型 | . 14 |
| | 4.15 瞬态响应 | . 15 |
| | 4.16 效率 | .16 |
| | 4.17 散热 | . 16 |
| | 4.18 电路板布局考虑 | . 17 |
| | 4.19 设计示例 | . 18 |
| | 4.20 DCM 与 FCCM | . 18 |
| | 4.21 RUN 使能引脚 | .18 |
| 5 | 功能框图 | .19 |
| 6 | 典型应用 | .20 |
| 7 | 封装 | .21 |
| R | 修订历史 | 22 |



1 简介

1.1 描述

ASP3605A 是一款高效同步降压调节器。支持多个 ASP3605A 调节器异相运行,同时使用最小的输入和输出电容。该芯片的输入电压范围为 4V 至 15V,适用于双锂离子电池输入以及 12V 或 5V 负载端电源应用。

工作频率可通过外部电阻器从 800kHz 到 4MHz 进行编程。高频能力允许使用小型表贴电感器。PHMODE 引脚允许用户控制输出时钟信号相位。两个内部锁相回路同步内部振荡器到外部时钟,保证调节器准时并锁定时钟。

1.2 主要特征

最高效率: 94% 输出电流: 5A

V_{IN}范围: 4V至 15V

集成功率 N 沟道 MOSFET 可调频率: 800kHz 至 4MHz 多相操作: 最多支持 12 相级联

输出跟踪

0.6V 参考精度: ±1%

纹波: 典型值小于 4.5mV

电流控制模式,具有良好的负载、线性调整率

车规认证: AEC-Q100 Gradel (汽车级)

SEU: ≥75Mev.cm²/mg 或10⁻⁵次/器件.天(商业航天级)

SEL: ≥75Mev.cm²/mg(商业航天级) TID: ≥125krad(Si)(商业航天级)

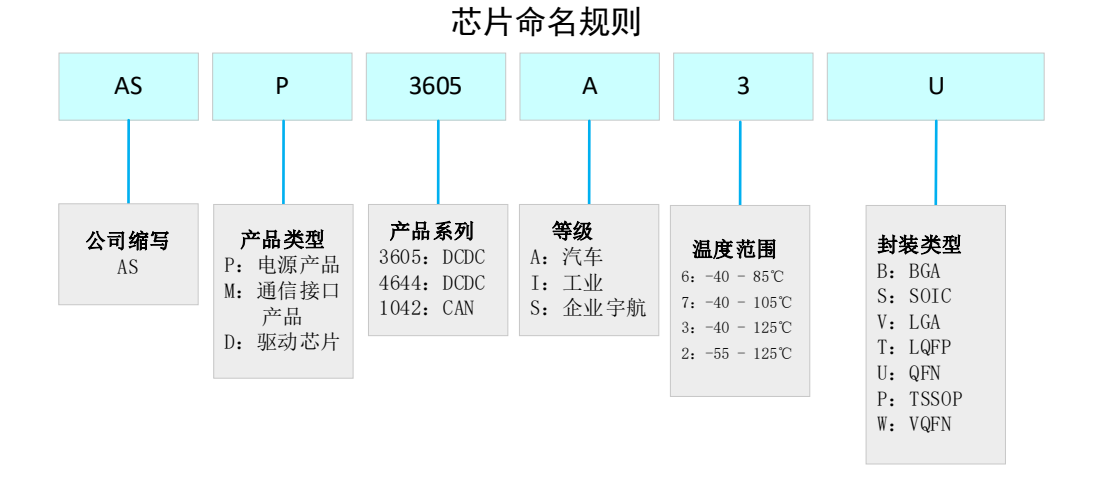
封装: QFN24 (4mm×4mm)

1.3 产品系列

芯片型号如下:

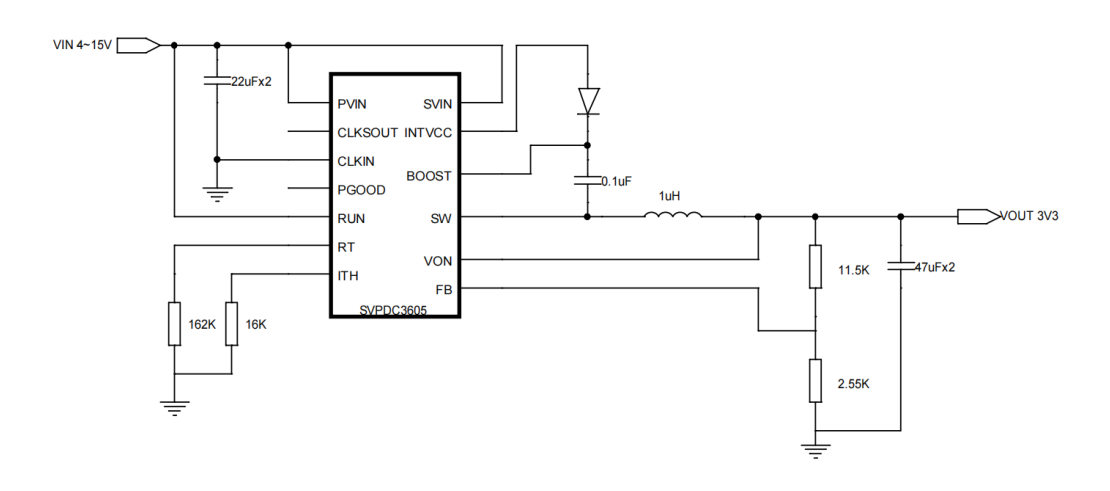
| 芯片类型 | 芯片型号 | 等级 | 封装 | 温度范围 |
|------|------------|-------|-------|---------------|
| 电源芯片 | ASP3605I6U | 工业级 | QFN24 | -40 to 85 °C |
| 电源芯片 | ASP3605A3U | 汽车级 | QFN24 | -40 to 125 °C |
| 电源芯片 | ASP3605S2U | 商业航天级 | QFN24 | -55 to 125 °C |





1.4 典型应用

高效 1MHz、5A 降压调节器方案简图



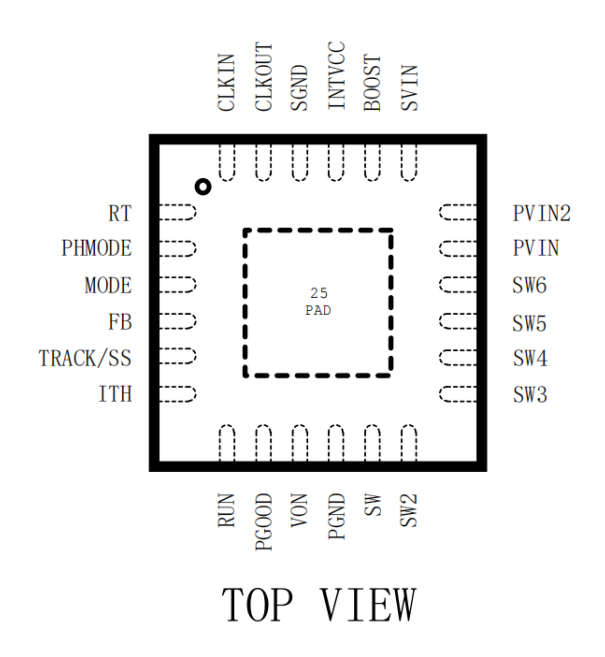
1.5 应用场景

负载端电源 便携式仪器 分布式电力系统 电池供电设备



2 引脚功能

2.1 引脚排布



2.2 引脚功能

RT (Pin 1):振荡器频率编程引脚。可通过 RT 连接外部电阻(40k~200k)来设置工作频率(800kHz~4MHz)。如果使用外部时钟来设定工作频率,那么外部时钟的频率需要在 RT 电阻设定频率的±30%,确保内部 PLL 频率可以锁定。

PHMODE (Pin 2):相位控制输入引脚。确定内部振荡器和 CLKOUT 之间的相位关系。将其连接至 INTVCC,相位差为 180°;将其连接到 SGND,相位差为 120°,将其连接于 INTVCC/2,相位差为 90°。

MODE (Pin 3):工作模式控制引脚。将此引脚连接到 INTVCC 可以实现在输出负载下强制连续同步操作。将其连接到 SGND 可以实现轻载下的不连续模式操作。不要使此引脚悬空。

FB (**Pin 4**):输出反馈电压。误差放大器的输入,用于将反馈电压与内部 0.6V 参考电压进行比较。该引脚通常连接到控制输出电压的电阻分压节点处。

TRACK/SS (Pin 5):输出跟踪和软启动引脚,便于用户控制输出电压的上升时间。这个引脚上的电压低于 0.6V 时,会绕过内部误差放大器的基准电压,使 FB 引脚电压跟随 TRACK 引脚电压。该引脚电压在 0.6V 以上时,跟踪功能会停止,内部的基准电压会重新恢复对误差放大器的控制。这个引脚会从 INTVCC 获取到 2μA 的上拉电流,因此,在此处放置电容可实现软启动功能。

COMP (Pin 6):误差放大器的输出以及开关稳压器的补偿点。电流比较器的阈值与该电压呈线性,正常范围为 0.3V~1.8V。通过将此引脚连接到 INTVCC,可以激活内部的补偿,配置输出电压。在 IOUT=0 时, V_{OUT}将提高到比设定值高 1.5%,



而在 IOUT=5A 时, VouT 将降低 1.5%。

RUN (Pin 7):使能控制引脚。将 RUN 与 \geq 1.2V 的电压相连,启动芯片工作。当其连接至 \leq 1.1V 电压,终止芯片工作。

PGOOD (Pin 8):检测输出电压是否正常的引脚。当 FB 引脚上的电压不在内部 0.6V 参考±10%范围内时, PGOOD 将被拉至地。

Von (Pin 9):控制导通时间的电压输入引脚。为导通时间比较器设置电压跳变阈值,可以控制功率 MOSFET 的导通时间。将该引脚连接在输出电压上,使导通时间与 Vour 成正比,并在不同的 Vour 下保持开关频率恒定。但是,当 Von <0.6V或>6V时,开关频率将不再保持恒定。

PGND (Pin 10, Pin 25):电源地。内部功率 MOSFET 的地。将此引脚与输入电容器和输出电容器的负极相连接。暴露的焊盘应焊接到 PCB 地端,以确保良好的电接触,符合额定热性能。

SW (Pins 11 to 16):连接到外部电感的开关节点引脚。SW 的电压范围:二极管对地的电压降至 PV_{IN} 。

PV_{IN} (**Pins 17, 18**): 功率电源输入引脚。功率 MOSFET 的输入电压。

 SV_{IN} (Pin 19):电源输入引脚。给内部输出 3.3V 的线性稳压器提供输入电压,在 SV_{IN} 和 PV_{IN} 之间连接一个($1\Omega \subseteq 10\Omega$)电阻,并用 $0.1\mu F$ 电容旁路到 GND。

BOOST (Pin 20):内部部功率 MOSFET 的升压浮动驱动器电源。

INTVCC (Pin 21):内部 3.3V 稳压器输出。该电压为内部电源驱动器和控制电路供电。为了实现解耦,建议使用至少 1μF 的低 ESR 陶瓷电容器将此引脚与地连接。

SGND (Pin 22):接地引脚。

CLKOUT (Pin 23):多相运行时的时钟输出信号引脚。CLKOUT 相对于 CLKIN 的相位模式会根据 PHMODE 引脚的状态确定。CLKOUT 的振幅介于 INTVCC 和 GND 之间。

CLKIN (Pin 24):相位检测器的外部同步输入引脚。该引脚内部连接至具有 20k 欧姆阻值的 SGND。锁相环将促使顶部功率 NMOS 的导通信号与 CLKIN 信号的上升沿保持同步。



3 特征值

3.1 绝对最大额定参数

PV_{IN}, SV_{IN}, SW 电压范围: -0.3V~15V

SW 瞬态电压范围: -2V~17.5V INTVcc 电压范围: -0.3V~3.6V

BOOST 电压范围: -0.3V~PV_{IN}+INTVCC

 V_{ON} 电压范围: $-0.3V \sim SV_{IN}$ RUN 电压范围: $-0.3V \sim 15V$

COMP, RT, CLKOUT, PGOOD 电压范围: -0.3V~INTVCC CLKIN, PHMODE, MODE 电压范围: -0.3V~INTVCC

TRACK/SS, FB 电压范围: -0.3V~INTVCC

工作温度范围: -40°C ~ 125°C 存储温度范围: -65°C ~ 125°C

3.2 电特性

| SYMBOL | PARAMETER | CONDITIONS | MIN | TYP | MAX | UNITS |
|-------------------------|-----------|--------------------------------|-----|------|-----|-------|
| P _{VIN} | 输入电压范围 | SVIN=PVIN | 4 | | 15 | V |
| V _{OUT(RANGE)} | 输出电压范围 | | 0.6 | | 5.5 | |
| I_Q | 输入直流电源 | Mode = 0, RT = | | | | |
| | 开启 | 173k | | 2 | 10 | mA |
| | 关断电流 | | | 16 | | μΑ |
| $\Delta V_{OUT(LINE)}$ | 线性调整率 | $V_{IN} = 4V \text{ to } 15V,$ | | 0.1 | | % |
| | | V _{OUT} =1.2,空载 | | | | |
| | | | | | | |
| $\Delta V_{OUT(LOAD)}$ | 负载调整率 | VIN=12V,VOUT=1 | | 0.67 | | % |
| | | .2V,Iload=0A-5A | | | | |
| Ilimit | 限流保护 | VIN=12V,VOUT=1 | | 6.60 | | A |
| | | .2V | | | | |
| V _{OVP} | 过压保护 | V _{IN} =12V , | | 16.9 | | V |
| | | V _{OUT} =1.2V,空载 | | | | |
| V _{UVLO} | 欠压保护 | V _{OUT} =1.2V,空载 | | 3.5 | | V |





| V _{INTVCC} | 内部 VCC 电压 | $4V < V_{\rm IN} < 15V$ | 3.2 | | V |
|-------------------------|-----------|------------------------------|------|---|-----|
| fosc | 振荡器频率 | RT = 173k | 1 | | MHz |
| I _{TRACK/SS} | TRACK/SS | | 2.2 | 4 | μΑ |
| | 上拉电流 | | | | |
| V _{OUT(AC)} | 输出纹波 | V _{IN} =4V , | 4.5 | | mV |
| | | Vout=1.2V , | | | |
| | | ILoad=2A Cin=22uF, | | | |
| | | Cout=94uF | | | |
| $\Delta V_{OUT(dynami}$ | 动态负载响应 | V _{IN} =12V , | | | |
| c load step) | | Vout=1.2V | | | |
| | 过冲 | Iload=2A-4A-2A | 14.7 | | mV |
| | | Cin=22uF, | | | |
| | 下冲 | Cout=94uF | 16.3 | | mV |
| t _{START} | 启动时间 | V _{IN} =12V , | 26 | | ms |
| | | Vout=1.2V | | | |
| | | 空 载 , | | | |
| | | C _{TRACK/SS} =0.1uF | | | |

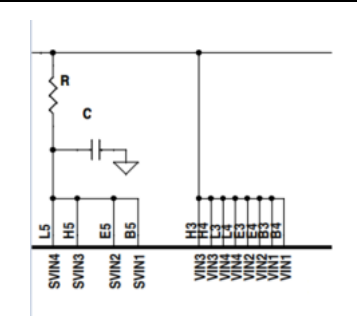
备注: 若无特别说明, MODE=INTVCC, PHMODE=INTVCC

3.3 使用注意事项

3.3.1 PVIN SVIN 之间建议加 RC

建议用户将 PVIN 与 SVIN 分开,同时 PVIN 与 SVIN 之间接 RC 低通滤波器,建议值 R= $10\,\Omega$,C=0.1uF。滤除开关频率带来的纹波干扰,参考电路如下图所示:





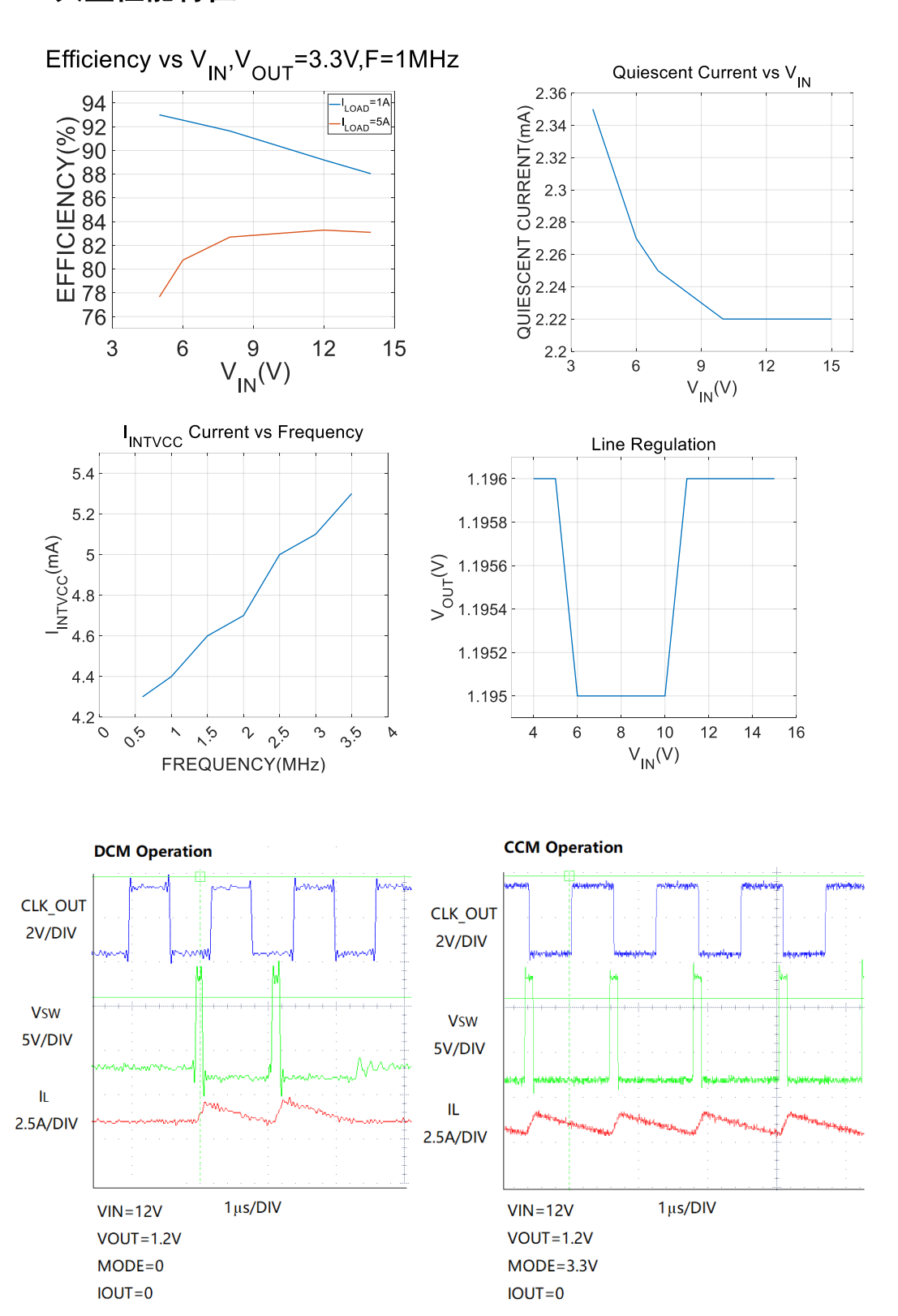
后续新版本不存在此问题。

3.3.2 软启动电容

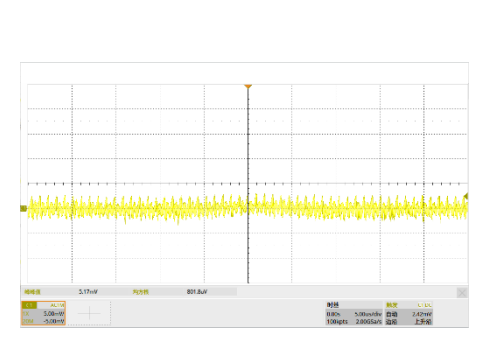
当 ASP3605 输出端驱动大的容性负载 (大于 300uF) 时,需要同步增加软启动电容的值。



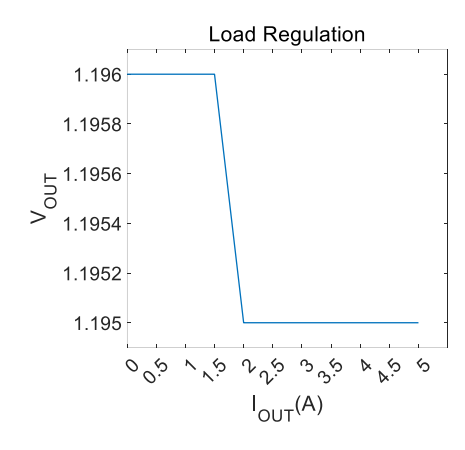
3.4 典型性能特征













4 应用

4.1 主控制回路

ASP3605A 是一款采用电流控制模式进行降压调节的芯片。其内部的顶部功率 MOSFET 的导通时间由单触发定时器 OST 控制,以固定的时间间隔导通。在顶部功率 MOSFET 关闭后,底部功率 MOSFET 将会打开,并一直保持此种状态,直至电流比较器 ICMP 输出逻辑发生跳变,然后重新启动单触发定时器并开始下一个工作周期。电感电流是通过感应底部功率 MOSFET 的 V_{DS} 的压降来确定的。误差放大器 EA 通过比较来自输出电压的反馈信号 V_{FB} 与内部 0.6V 参考电压的反馈信号来调整 COMP 电压。如果负载电流增加,则会导致反馈电压 V_{FB} 相对于内部参考电压下降。然后,COMP 电压上升,直到平均电感电流匹配负载电流,COMP 引脚电压稳定。

当电流反转比较器检测到小负载电流的工作条件,将关闭顶部与底部的功率 MOSFET,进入 DCM 工作模式,此时负载电流主要由输出电容提供,此时电感电流可降至零并变为负值,这种工作模式将持续到 COMP 电压上升至 0.6V 以上。将 MODE 引脚与 INTVCC 相接,系统将不会根据负载的大小来选择工作模式,而是强制进入 CCM 工作模式。

工作频率由 RT 引脚外接电阻的值决定,该电阻通过控制内部振荡器的电流控制系统的工作频率。如果 CLKIN 引脚上存在外部时钟信号,则内部锁相环将振荡器频率与外部时钟频率同步。另一个内部锁相环将内部振荡器的频率与开关频率进行同步,迫使功率 MOSFET 保持恒定的开启时间。

通过将 MODE 引脚连接到 INTVCC 来禁用非连续模式操作,这将强制连续同步操作,而与输出负载无关。

如果输出反馈电压 VFB 的波动大于设定值范围的±10%,过压和欠压比较器将 PGOOD 输出拉低。除了在启动时 TRACK 引脚上升至 0.6V 的这段时间,在过压和欠压的工作条件下,系统必须进行连续工作。

如果输出短路到地,则反向限流,底部功率 MOSFET 上的最大感测电压被降低到原始值的大约 40%,进而减小电感谷电流。

RUN 引脚拉到地将关闭功率 MOSFET 及其大部分内部控制电路,迫使 ASP3605A 进入关闭状态。将 RUN 引脚置于 0.7V 以上时,仅打开内部基准,同时仍保持功率 MOSFET 关闭。当 RUN 引脚电压大于 1.2V 时,芯片开始工作。

4.2 INTVCC 调节器

内部低压差稳压器(LDO)负责产生 3.3V 电源,用于驱动和内部偏置电路的供电。INTVCC 能够提供高达 100mA 的 RMS 电流,必须使用至少 1μF 的陶瓷电容器旁路到地。良好的旁路可以保证功率 MOSFET 栅极驱动电路输出大瞬态电流。高输入电压和高开关频率的应用需要 LDO 提供更高的功耗,因此芯片的温度也会相应的增加。不建议将负载连接到 INTVCC 引脚,因为这会进一步推动 LDO 进入其 RMS 电流额定值,并增加功耗和芯片的温度。

4.3 V_{IN} 过电压保护



为了保护内部功率 MOSFET 器件免受瞬态电压尖峰的影响,ASP3605A 持续监测 V_{IN} 引脚的过电压情况。当 V_{IN} \geq 17V 时,稳压器将关闭两个功率 MOSFET 以暂停工作。当 V_{IN} \leq 15V 时,稳压器会立即恢复正常工作。在退出过电压条件时,稳压器不会执行软启动功能。

4.4 PV_{IN}/SV_{IN} 电压差

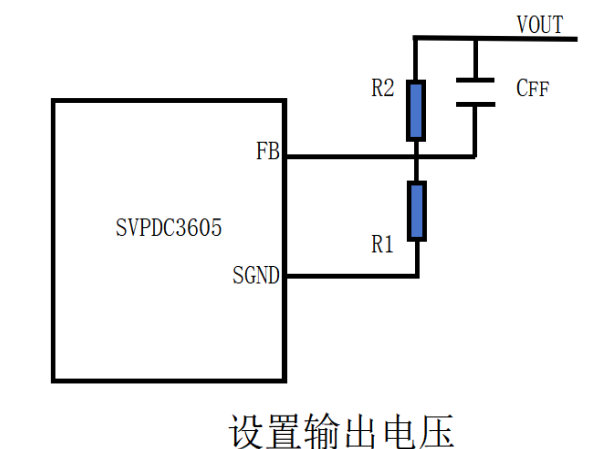
SV_{IN}应该通过 $1\Omega\sim10\Omega$ 以及 0.1μ F 组成的低通滤波器连接到 PV_{IN} 。对于 PV_{IN} 和 SV_{IN} 连接不同电压的应用,虽然输出电压受控,但内部功率 MOSFET 的开启时间将会偏移正常值。如果 SV_{IN} 与 PV_{IN} 相差超过 PV_{IN} 电压的 50%,则由此产生的开关频率将偏离 RT 电阻编程的频率或外部时钟同步频率。可以通过调整 RT 的电阻值使开关频率返回原有的期望值。也可以通过将 V_{ON} 引脚连接到与 V_{OUT} 不同的电压上,以抵消 V_{IN} 差分器的偏移量。

在这种应用中,为了使开关频率正常,可以相应地调整 RT 电阻值。另外,更好的解决方案是将 V_{ON} 引脚连接在与 V_{OUT} 不同的电压上,以抵消 V_{IN} 的偏移。例如,如果 SV_{IN} 为 6V, PV_{IN} 为 12V,则产生的开关频率可能比 RT 电阻编程的频率慢,此时将 V_{ON} 引脚连接到 V_{OUT} 的一半电压将使开关频率恢复正常。

4.5 输出电压编程

输出电压由外部分压电阻设置,根据以下公式来设定输出电压:

 $V_{OUT} = 0.6V \cdot (1 + R_2/R_1)$



4.6 编程开关频率

RT 引脚的电阻可以通过以下公式设置从 800 kHz 到 4MHz 的切换频率:

Frequency (Hz)=
$$\frac{1.6e11}{RT(\Omega)}$$

内部 PLL 的同步范围在其编程频率附近的±30% , 因此外部时钟同步时, 应确保外部时钟频率在 RT 编程频率的±30%范围内。

4.7 输出电压跟踪和软启动

ASP3605A 允许用户通过 TRACK/SS 引脚对其输出电压斜坡速率进行编程。 内部 2µA 将 TRACK/SS 引脚拉至 INTVCC。

在 TRACK/SS 上连接一个外部电容可以实现输出的软启动,防止输入电源上的电流浪涌影响输出。



对于输出跟踪应用,TRACK/SS 可以由另一个电压源外部驱动。从 0V 到 0.6V, TRACK/SS 电压将覆盖误差放大器的内部 0.6V 参考输入,从而将反馈电压调节到 TRACK/SS 引脚的电压。在启动期间,ASP3605A 将以不连续模式运行。当 TRACK/SS 高于 0.6V 时,停止跟踪,反馈电压调节到内部参考电压。

故软起动时间可以根据以下公式计算:

$$T_{ss} = \frac{C_{ss} * 0.6}{I_{ss}(2.5 \mu A)}$$

对于输出跟踪应用,TRACK/SS可以由另一个电压源外部驱动。

4.8 输出功率

当 ASP3605A 的输出电压在调节点的±10%范围内时,反馈回 0.54V~0.66V 范围内的 V_{FB} 电压,此时输出电压正常,PGOOD 引脚会被外部电阻器拉高。

若输出电压超出该范围,内部开漏下拉模块 (25Ω) 将把 PGOOD 引脚拉低。 为避免在瞬态或动态 V_{OUT} 变化期间出现不必要的 PGOOD 毛刺,ASP3605A 的 PGOOD 下降沿具备约 52 个开关周期的消隐延迟。

4.9 多相操作

对于需要大于 5A 电流的输出负载,我们可以将多个 ASP3605A 级联实现多相运行,已提供更大的输出电流。CLKIN 引脚允许 ASP3605A 同步到外部时钟 (±50%由 RT 编程的频率),内部锁相环允许 ASP3605A 锁定到 CLKIN 的相位。CLKOUT 信号可以连接到其他的 ASP3605A 级的 CLKIN 引脚,以对齐整个系统的频率和相位。将 PHMODE 引脚连接到 INTVCC, SGND 或 INTVCC/2,分别产生 180 度,120 度或 90 度的相位差(CLKIN 和 CLKOUT 之间),对应于 2 相,3 相或 4 相操作。

4.10 内部/外部 COMP 补偿

在单相运行阶段,用户可以通过将 COMP 引脚与 INTVCC 相连接实现内部补偿,从而简化了回路补偿过程。此操作将一个 30kΩ 的内部电阻与一个 40pF 的电容器串联至误差放大器的输出端。同时,激活输出电压定位功能,确保输出电压在空载时比调节值高 1.5%,在满载时则低于调节值 1.5%。这是出于简化电路的考虑,并没有优化环路补偿,其中 COMP 组件是外部的,选择最小的输出电容优化环路瞬态响应。

4.11 最小开启/关断时间的考虑

最小关断时间是 ASP3605A 能够打开底部功率 MOSFET, 翻转电流比较器并关闭功率 MOSFET 的最小时间,一般在 70ns 左右。最小关断时间限制了最大占空比为 ton/(ton + toff(MIN)), 如果达到最大占空比,例如由于输入电压下降,那么输出将失去调节。避免掉差的最小输入电压为:



$$V_{IN(MIN)} = V_{OUT} \frac{t_{ON} + t_{OFF(MIN)}}{t_{ON}}$$

相反,最小导通时间是指最高功率 MOSFET 处于"导通"状态的最小持续时间。这个时间通常是 40ns。在连续工作模式下,最小导通时间限制施加的最小占空比为:

$$DC_{MIN} = f \cdot t_{ON(MIN)}$$

其中 toN(MIN)为最小导通时间,如公式所示,降低工作频率将减轻最小占空比的约束。

在极少数超过最小占空比的情况下,输出电压仍可控,但开关频率将从其编程值下降。在许多应用中,这是可以接受的结果,因此在大多数情况下,此约束可能不是最重要的。在设计中可以使用高开关频率,而不必担心严重的后果。正如电感和电容选择部分所示,高开关频率允许使用更小的电路板元件,从而减小应用电路的尺寸。

4.12 C_{IN}和 C_{OUT}选择

输入电容 C_{IN} 用于滤波顶部功率 MOSFET 漏极处的梯形波电流。为了防止发生大的电压跳变变,应使用符合最大有效值电流大小的低 ESR 输入电容器。最大有效值电流由下式给出:

$$I_{RMS} = I_{OUT(MAX)} \frac{V_{OUT}}{V_{IN}} \sqrt{\frac{V_{IN}}{V_{OUT}} - 1}$$

这个公式在 $V_{IN}=2V_{OUT}$ 处有一个最大值,其中 $I_{RMS}=I_{OUT}/2$ 。这种简单的最坏情况通常用于设计,因为即使是显著的偏差也不能提供太多的缓解。请注意,电容制造商的纹波电流额定值通常仅在 2000 小时的使用寿命内有效,因此建议进一步降低电容器的额定值,或选择额定温度高于要求的电容器。

几个电容器也可以并联,以满足设计中的尺寸或高度要求。对于低输入电压 应用,需要足够的整体输入电容来最小化输出负载变化期间的瞬态响应。

Cout 的选择取决于有效串联电阻(ESR),该电阻需要最小化电压纹波和负载阶跃瞬态,以及确保控制回路稳定所需的体电容量。通过观察负载的瞬态响应,可以检查回路的稳定性。输出纹波 DVout 由下式决定:

$$\Delta V_{OUT} < \Delta I_L \left(\frac{1}{8fC_{OUT}} + ESR \right)$$

输出纹波在最大输入电压时最高,因为 ΔI_L 随输入电压增加而增加。为了满足 ESR 和 RMS 电流处理要求,可能需要并联多个电容器。干钽、特殊聚合物、铝电解电容器和陶瓷电容器均可采用表面贴装封装。

特殊聚合物电容器的 ESR 很低,但电容密度比其他类型的电容器低。钽电容器具有最高的电容密度,但重要的是仅使用已经过浪涌测试的类型用于开关电源。铝电解电容器具有明显更高的 ESR,但在考虑纹波电流额定值和长期可靠性的情况下,可以用于成本敏感的应用。

陶瓷电容器具有优良的低 ESR 特性和占地面积小。它们相对较低的体电容值可能需要多个并联。



4.13 输入输出电容

在电子元器件领域,陶瓷电容器作为一种关键的被动元件,被广泛应用于各类电子设备之中。

我们可以从以下几个方面来考虑如何挑选合适的陶瓷电容器:

- 1. 根据应用场景选择电介质类型:针对各种应用需求,可以选择具备相应性能特性的电介质,例如高储能、高稳定性等。
- 2.确定电容器的尺寸和容量:根据电路设计要求,选取适当尺寸和容值的陶瓷电容器。

以下公式可用于计算推荐电容容值:

$$C_{out} \approx F \times \frac{\Delta I_{out}}{f_o \times V_{FALL}}$$

F 为周期系数,通常可以用 2.5 代入上式,保险起见可以带入 3, V_{FALL} 为输出的首个周期的线性下降电压。

在众多应用场景中,输入电容仅需承担高频旁路的角色,鉴于其对电源的阻抗影响较小。一枚 $22\mu F$ 的陶瓷电容器通常足以满足此类需求。在布局时,应尽量将此输入电容器靠近 PV_{IN} 引脚。

- 3.考虑电容器的电压和温度特性:根据实际应用环境,选取具备良好电压和温度特性的电介质,如 X5R 和 X7R。
- 4.关注电容器的可靠性:选择具有较高可靠性的陶瓷电容器,以确保其在长时间运行过程中不会出现故障。

总之,在挑选输入和输出陶瓷电容器时, X5R 和 X7R 电介质配方因其优秀的温度和电压性能,成为优先考虑的选择。

X5R 和 X7R 电介质配方均具有较高的介电常数,这使得它们在相同尺寸的电容器中可以存储更多的电荷,从而提高了电容器的储能能力。此外,这两种电介质材料的稳定性较好,能够承受较大的电压和温度变化。

4.14 电感选型

在电子电路设计中,电感值的选择是一项至关重要的任务。它直接影响到电流纹波的大小,而电流纹波又是衡量芯片谷电流比较器信噪比的关键指标。信噪比的大小决定了开关频率的稳定性,从而影响到整个电子电路的性能。因此,电感值的选择在保证电子电路正常运行方面具有举足轻重的作用。

首先,我们需要了解电感值对电流纹波的影响。根据经验,为了使芯片的谷电流比较器具有足够的信噪比,电流纹波应在 1.5A 至 2.5A 的范围内。这个范围内的电流纹波可以保证谷电流比较器在检测信号时,信号噪声比达到要求,从而确保开关频率的稳定。

然而,我们还需要考虑到最大的纹波电流发生在最高的输入电压(V_{IN})的情况,这是因为输入电压的增加会导致电流纹波的增大,从而可能超过规定的最大值。如果纹波电流过大,将会对电子电路的稳定性产生负面影响,甚至可能损坏器件。

为了确保纹波电流不超过规定的最大值,电感的选择应遵循以下要求:



1.计算电感所需的电流纹波:在确定输入和输出电压、电感值以及工作频率的条件下,可以计算出纹波电流的值。

$$\Delta I_L = \frac{V_{OUT}}{f \times L} (1 - \frac{V_{OUT}}{V_{IN}})$$

2.通常情况下, 纹波电流值设定在 1.5~2.5A 范围内。因此, 依据所述的纹波电流公式, 可以反向推导出电感的电感值。

需要注意在强制连续运行模式下,若电感纹波电流超过负电流限制,输出电压 Vour 将充电至调节水平以上,直至电感器电流不再超过负电流限制。针对这一情况,可以采取两种措施:一是选择较大的电感值以减少电感纹波电流,二是降低 RT 电阻值以提高开关频率,从而降低电感器纹波电流。

3.考虑电感的稳定性:在选择电感时,要关注电感的稳定性。稳定性差的电感可能在高温、高压等环境下出现性能下降,进而影响电流纹波。

4.电感尺寸与散热设计:电感的尺寸和散热设计也会对电流纹波产生影响。在实际应用中,要确保电感具有足够的散热性能,以保证其在高温环境下的稳定性。

总之,电感值的选择对于电子电路的性能和稳定性具有重要意义。在选择电感时,要充分考虑电流纹波、输入电压、电感稳定性等因素,以确保电子电路在各种环境下正常运行。同时,合理的设计和优化电感的散热性能,可以进一步提高电感的使用寿命和可靠性。

4.15 瞬态响应

OPTI-LOOP 补偿允许针对大范围负载和输出电容优化瞬态响应。COMP 引脚不仅可以用来优化控制回路,还可以提供直流耦合和交流滤波的闭环响应测试点。该测试点的阶跃响应、上升时间和建立时间真实地反映了闭环响应。

假设主要是二阶系统,相位裕度和/或阻尼因子可以使用在该引脚处看到的 超调百分比来估计。

本数据表第一页的电路中所示的 COMP 外部元件为大多数应用提供了足够的相位裕度。串联 rc 滤波器设置主零极点回路补偿。这些值可以稍微修改(建议 0.5 到 2 倍的值),以优化瞬态响应,一旦最终布局完成,特定的输出电容类型和值已经确定。需要选择输出电容,因为它们的各种类型和值决定了环路反馈因子——增益和相位。输出电流脉冲为满载电流的 20%至 100%,上升时间为 1μs 至 10μs,将产生输出电压和 COMP 引脚波形,这将在不破坏反馈回路的情况下观测到整体回路的稳定性。

开关稳压器需要几个周期来响应负载电流的一个跳变。当发生负载跳变时, V_{OUT} 立即改变等于 ΔI_{LOAD} •ESR 的量,其中 ESR 是 C_{OUT} 的有效串联电阻。 ΔI_{LOAD} 也开始给 C_{OUT} 充电或放电,由此产生一个反馈误差信号,由稳压器使用,使 V_{OUT} 返回其稳态值。在此恢复期间,可以监视 V_{OUT} 是否超调或产生振铃,若存在则表明存在稳定性问题。

初始输出电压阶跃可能不在反馈回路的带宽范围内,因此不能使用标准二阶超调/直流比来确定相位裕度。环路的增益随着 R 的增大而增大,环路的带宽随着 C 的减小而增大。如果增大 R 的幅度与减小 C 的幅度相同,则零频率点保持不变,从而在反馈环路最关键的频率范围内保持相位不变。此外,可以增加一个前馈电容 C_{EF} ,以提高高频响应。电容 C_{EF} 通过与 R_2 产生高频零点提高了相位裕



度。

输出电压的建立过程与闭环系统的稳定性有关,并将展示出实际的整体电源性能。有关优化补偿元件的详细说明,包括对控制回路理论的回顾。

在某些应用中,切换具有大(>10μF)输入电容的负载可能会引起更严重的瞬态问题。

输入电容与 Cour 并联,若输入电容放电,则 Vour 迅速下降。如果连接负载的开关导通阻抗低并且可以快速相应,那么没有一款稳压器可以提供足够的电流来防止输出电压下降。最好的解决方案是限制负载开关驱动器的接通速度。热插拔控制器是为解决此问题而专门设计的,通常具有限流、短路保护和软启动的功能。

4.16 效率

开关稳压器的效率百分比等于输出功率除以输入功率乘以 100%。具体分析 损失的来源,确定是什么限制了效率,哪些变化会影响效率,对提升效率是非常 有用的。百分比效率可表示为:

$$\%Efficiency = 100\% - (L1 + L2 + L3 + \cdots)$$

其中 L₁、L₂等为单个损耗占输入功率的百分比。

虽然电路中的所有耗散元件都会产生损耗,但 ASP3605A 电路中损耗的主要来源通常有三个:1)I²R 损耗,2)开关和偏置损耗,3)其他损耗。

1. I²R 损耗由内部开关 RSW 和外部电感 RL 的直流电阻计算。

在连续模式下,平均输出电流流过电感 L,但在内部顶部和底部功率 MOSFET 之间被"斩波"。因此,查看 SW 引脚的串联电阻是顶部和底部 MOSFET RDS(ON)和占空比的函数,如下所示:

$$R_{SW} = (R_{DS(ON)}TOP)(DC) + (R_{DS(ON)}BOT)(1 - DC)$$

顶部和底部 MOSFET 的 $R_{DS(ON)}$ 可以从典型性能特征曲线中获得。从而得到 I^2R 损失:

$$I^2R\ losses = I_{OUT}^2(R_{SW} + R_L)$$

2. INTVCC 电流是功率 MOSFET 驱动电流和控制电流的总和。功率 MOSFET 驱动电流来自于开关功率 MOSFET 的栅极电容。每次功率 MOSFET 栅极从低到高再到低切换时,一部分电荷 dQ 从 INTVCC 移动到地。由此产生的 dQ/dt 是INTVCC 输出的电流,通常比直流控制偏置电流大得多。在连续模式下, $I_{GATECHG} = f(Q_T + Q_B)$,其中 Q_T 和 Q_B 为内部顶层和底层功率 MOSFET 的栅极电荷,f 为开关频率。由于 INTVCC 是由 V_{IN} 供电的低压差稳压器输出,其功率损耗等于:

$$P_{LDO} = V_{IN}I_{INTVCC}$$

3. 其他"隐藏"损耗,如转换损耗,铜皮和内部负载电阻,可以解释为整个系统中额外的功率损耗。在系统设计中包含这些"系统"级损耗是非常重要的。转换损耗是在开关节点转换过程中,最高功率 MOSFET 在饱和区的短暂时间内消耗的功率。由于 ASP3605A 内部功率器件切换速度很快,与其他电源相比,这些损耗并不显著。其他损耗包括二极管在死区期间的传导损耗和电感铁芯损耗,这些损耗通常占总附加损耗的 2%以下。

4.17 散热



在大多数应用中,ASP3605A 由于其高效率和背向 QFN 封装的低热阻,不会散发太多热量。然而,在ASP3605A 在高环境温度、高 V_{IN} 、高开关频率和最大输出电流负载下运行的应用中,散热可能超过该部件的最高结温。

如果结温达到约 160℃,两个电源开关将关闭,直到温度下降约 15℃。

为了避免 ASP3605A 超过最大结温,用户需要做一些热分析。热分析的目的是确定耗散的功率是否超过部件的最高结温。温升由以下公式给出:

$$T_{RISE} = P_D \theta_{IA}$$

例如,考虑 ASP3605A 在 V_{IN} = 12V, I_{OUT} = 5A, f = 1MHz, V_{OUT} = 1.8V 的应用场景,等效功率 MOSFET 电阻 R_{SW} 由下式决定:

$$R_{SW} = R_{DS(ON)}TOP \cdot \frac{V_{OUT}}{V_{IN}} + R_{DS(ON)}Bot(1 - \frac{V_{OUT}}{V_{IN}})$$

在空载 1MHz, 连续工作时 V_{IN} 电流约为 2.3mA, 其中包括开关和内部偏置电流损耗、转换损耗、电感铁芯损耗等损耗。因此,总热耗由下式决定:

$$P_D = I_{OUT}^2 R_{SW} + V_{IN} I_{VIN} (NO\ Load)$$

QFN 4mm ×4mm 封装结对环境热阻 θ_{JA} 约为 37°C/W。因此,在 25°C环境温度下,稳压器的结温近似为:

$$T_I = P_D \cdot 37^{\circ}\text{C}/W + 25^{\circ}\text{C}$$

上面的结温是从 25℃ 时的 R_{DS(ON)}得到的,我们可以根据更高的 R_{DS(ON)}重新计算结温,因为它随着温度的升高而增加。假设 RSW 在 67℃下增加 15%,重新计算得到新的结温为 72℃。如果应用要求更高的环境温度和/或更高的开关频率,应注意使用散热器或气流来降低部件的温升。

4.18 电路板布局考虑

在布置印刷电路板时需要在布局中检查以下内容:

- 1.电容器 C_{IN} 应尽可能接近电源 P_{VIN} 和电源 PGND。这些电容器为内部功率 MOSFET 及其驱动器提供电流。
- 2. C_{OUT} 与 L1 之间的间距尽量靠近, C_{OUT} 的 (-) 极电流会返回到 PGND 和 C_{IN} 的 (-) 极。
- 3.电阻分压器 R_1 与 R_2 的连接至关重要,应紧贴 C_{OUT} 的(+)极和 SGND 附近的接地线。 V_{FB} 应尽量远离噪声器件和走线,比如 SW 走线尽量短。同时,建议 R_1 与 R_2 紧邻芯片,以提高整体性能。
- 4.将包装底部的 E-PAD 焊接到 PGND 平面。用热孔将这个 PGND 平面连接到其他层上,以帮助散热。
- 5.敏感部件一定远离 SW 引脚。RT 电阻、补偿电容和 C_{COMP} ,以及所有电阻 R_1 、 R_3 和 R_C ,以及 INTVCC 旁路电容,应远离 SW 走线和电感 L_1 。此外,SW 引脚的金属平面应保持尽可能小。
- 6.在电路设计中,地回路的首选方案是采用完整参考地平面?如果无法保证完整参考地平面,务必确保信号与电源、地保持分离,SGND连接至输出电容器的 PGND,实现小信号分量回流至 SGND。
- 7.在 PCB 设计中未使用的区域尽可能使用灌铜处理并且将铜的属性连接到 PGND,一方面是为了降低功率器件的温升,另一方面是为了降低 DCDC 的噪声对其他器件的干扰。



4.19 设计示例

应用场景需求如下:

 $V_{IN} = 10.8V \sim 13.2V$, $V_{OUT} = 1.8V$, $I_{OUT(MAX)} = 5A$, $I_{OUT(MIN)} = 500$ mA, f = 2MHz.

在考虑高负载电流和低负载电流下的效率优化,我们选择采用不连续导通模式。首先,从特性曲线中确定 2MHz 开关频率下的合适 RT 电阻值, RT 应为 80.6k。接下来,计算在最大 V_{IN} 下约 50% 纹波电流对应的电感值,公式如下:

$$L = \left(\frac{V_{OUT}}{f \cdot I_{OUT}}\right) \left(1 - \frac{V_{OUT}}{V_{IN}}\right)$$

带入具体的值,可计算得出 L=0.31μH。

根据标准电感规格,可以采用 0.33µH 电感。

C_{OUT} 将根据满足输出电压纹波要求所需的 ESR 和回路稳定所需的电容来选择。本设计推荐使用两个 47μF 陶瓷电容器。

 C_{IN} 的大小可以根据最大电流额定值来决定,通过以下公式可以计算出 I_{RSM} 约为 1.7A。

$$I_{RMS} = I_{OUT} \left(\frac{V_{OUT}}{V_{IN}} \right) \left(\frac{V_{IN}}{V_{OUT}} \right)^{1/2}$$

故 C_{IN} 可以使用两个 22μF 陶瓷电容解耦应该就可以满足设计要求。

4.20 DCM 与 FCCM

当 MODE 引脚连接至 GND 同时电路在轻负载时,芯片工作状态处于断续导通模式(DCM)。

当 MODE 引脚接至 INTVCC 时,无论输出负载如何,电路均工作于强制连续导通模式(FCCM)。

4.21 RUN 使能引脚

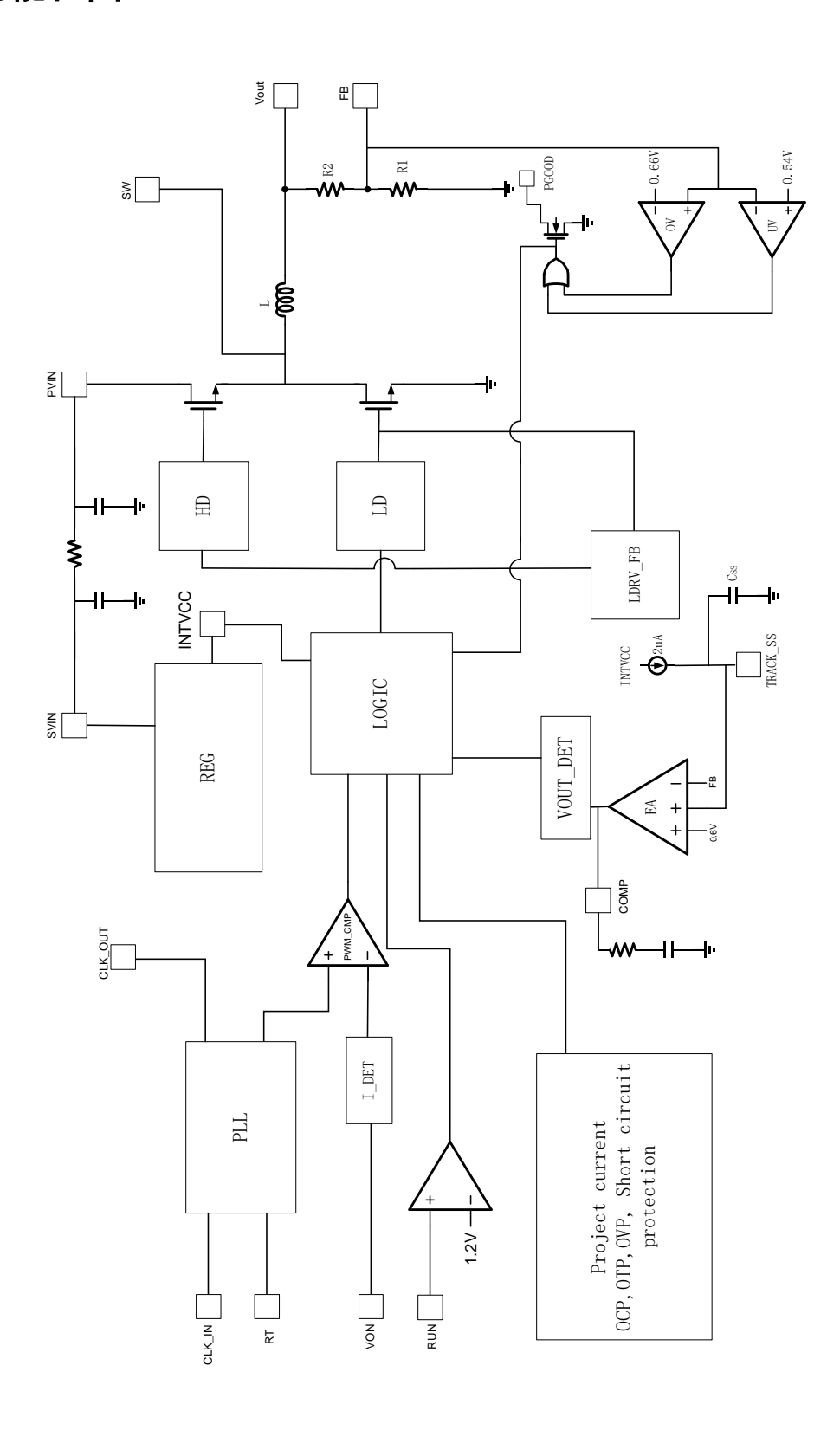
RUN 引脚具有约 1.2V 的典型电压,在 RUN 引脚被拉至 GND 时,模块将进入关机状态,此时功率 MOSFET 和大部分内部控制电路将被关闭。

当 RUN 引脚电压大于或等于 0.7V 时,只有内部参考电压被打开,同时功率 MOSFET 保持关闭状态。

只有 RUN 引脚电压大于或等于 1.2V 时,整个芯片才会进入正常工作状态。



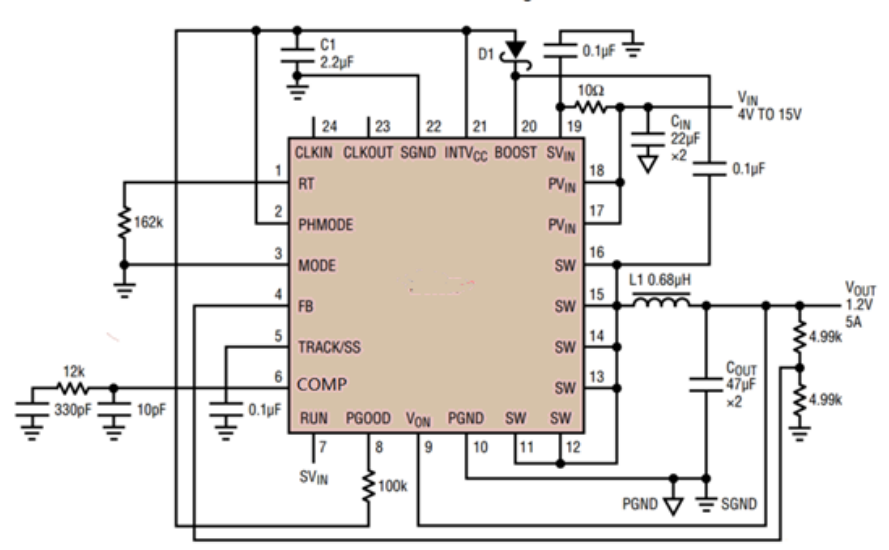
5 功能框图





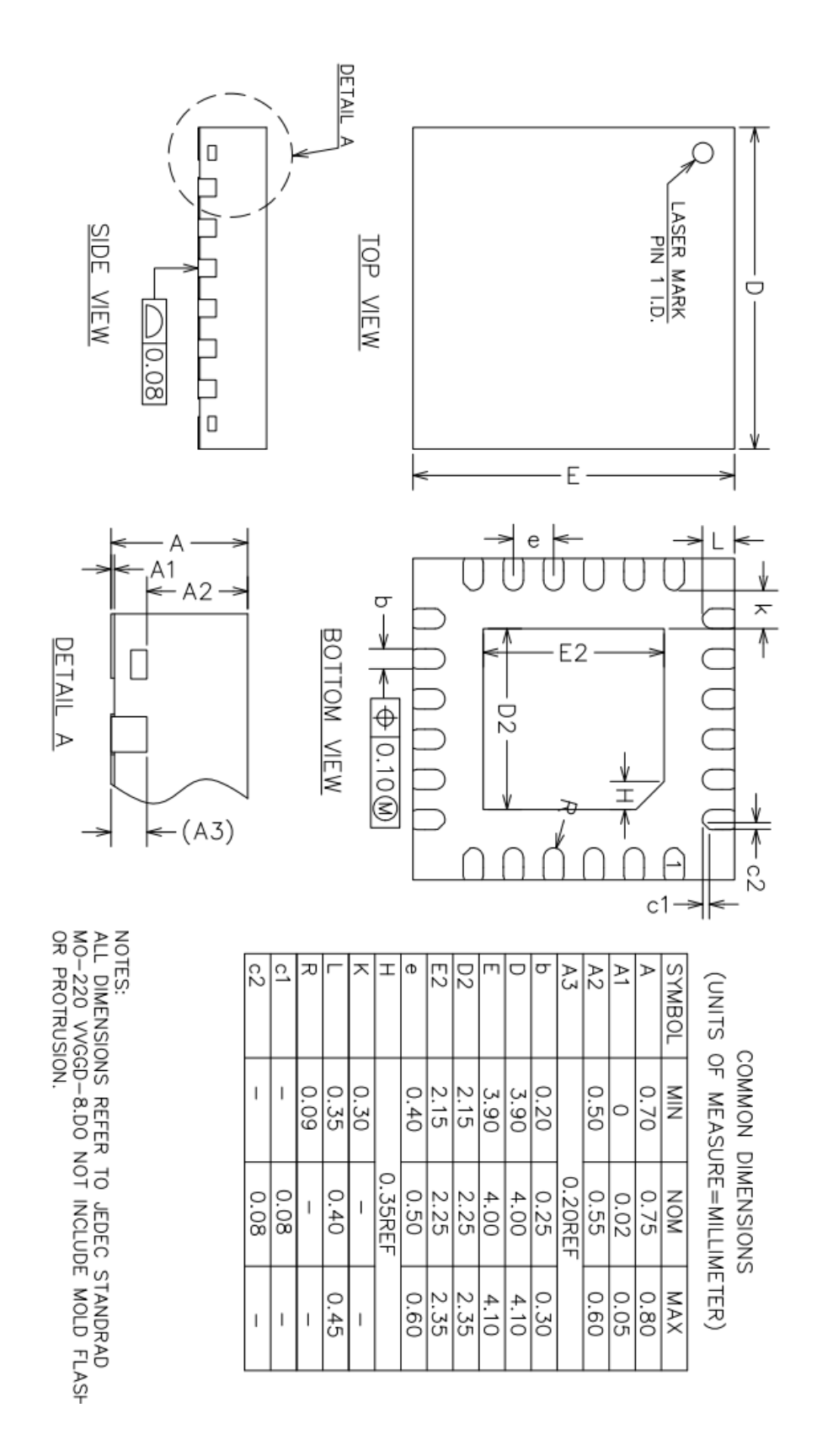
6 典型应用

12V to 1.2V 1MHz Buck Regulator





7 封装



2



8 修订历史

| 版本 | 修订内容 | 修订时间 |
|------|---------------|---------|
| 号 | | |
| V1.0 | 初始版本。 | 2024.10 |
| V1.1 | 1: 增加 TID 指标 | 2025.09 |
| | 2: 增加芯片使用注意事项 | |